

**20125**



**TECNICOS CONSULTORES REUNIDOS, S. A.**

**INFORMACION COMPLEMENTARIA**

**DOCUMENTACION FOTOGRAFICA**

**HOJA 09-08 LOS NOGALES**

**I. G. M. E.**

**MADRID 1977**

**20125**

INFORMACION COMPLEMENTARIA

DOCUMENTACION FOTOGRAFICA

HOJA 09 - 08 LOS NOGALES

I.G.M.E.

MADRID 1977

20125

LEYENDA

**20125**

Los números de las fotografías que componen este álbum, se encuentran comprendidos entre el 2001 y el 2090 ambos inclusive. Salvo las 2007, 2008, 2009, 2079, 2080, 2087, 2088 y 2089.

En los portanegativos incluidos al final de este álbum, por razones - de espacio se han marcado únicamente las cifras correspondientes - del 1 al 90.

Fotografía 1.

08-09-TC-HU-2001

Capas de Villamea ( $CA_2$  -  $O_1 p$ ) plegadas en sinclinal-anticlinal-sinclinal.

Frente de la foto : N

Fotografía 2-3.

08-09-TC-HU-2002 y 2003

Desde el puerto del Portelo, hacia el E (de izquierda a derecha en la fotografía) aparecen, Serie de Tránsito ( $CA_1 P_2$ ), Caliza de Vegadeo ( $CA_{1-2} c$ ), Capas de Riotorto ( $CA_2$ ), Capas de Villamea ( $CA_2-O_1 p$ ) y Capas del Río Eo Inferior ( $O_1 as$ ).

Frente de la foto : NE



Ft. - 2004 -

Ft. - 2005 -

Ft. - 2006 -

20125

20125

Fotografías 4-5-6.

08-09-TC-HU-2004-2005-2006

Serie de Tránsito ( $CA_1P_2$ ), por el valle Caliza de Vegadeo ( $CA_{1-2}c$ ), Capas de Villamea ( $A_1-O_1p$ ) y del Río Eo Inferior ( $O_1as$ ) en segundo término, y al fondo serie de los Cabos ( $CA_2-O_1pq$ ).

Frente de la foto : NNW

Fotografía 10.

08-09-TC-HU-2010

Deslizamiento de suelos eluvio-coluviones de la Serie de Tránsito - ( $CA_1p_2$ ). Carretera de Ambasmestas al Portelo.

Frente de la foto : W

Fotografía 11, fotografía 12 y fotografía 13.

08-09-TC-HU-2011-2012-2013

Pliegue menor anticlinal dentro un nucleo sinclinal del Río Eo Inferior ( $O_1as$ ). Pista del Portelo a Villanueva del Pedregal y Noceda.

Frente de la foto : SE

20125

Fotografías 14-15-16-17

08-09-TC-HU-2014-2015-2016-2017.

Desde el mismo sitio de las fotos 2011, 2012 y 2013, pero con el W al frente de la fotografía.

En primer término, Capas de Villamea ( $CA_2-O_1p$ ), Capas de Riotorto ( $CA_2$ ) y Caliza de Vegadeo ( $CA_{1-2}c$ ) por la carretera, nucleo de anticlinal con serie de tránsito ( $CA_{1-2}p$ ) y cuarcita de Cándana Superior - ( $CA_{1q2}$ ), cuyo eje pasa de N a S. (derecha-izquierda en la foto) por el pueblo de la derecha. Al fondo, Capas de Villamea, Río Eo Inferior ( $O_1as$ ) y Río Eo Superior ( $O_1$ ) en la línea del horizonte. Ejes de las estructuras, de N a S (derecha a izquierda de la foto).

Frente de la foto : W

Fotografía 18, fotografía 19 y fotografía 20.

08-09-TC-HU-2018-2019-2020.

Castillo de Doirás. Por el mismo castillo pasa un eje sinclinal cuyo núcleo son las pizarras de Luarca ( $O_2$ ), flanqueado por Río Eo Superior ( $O_1$ ), Río Eo Inferior ( $O_1as$ ) y Villamea ( $A_2-O_1p$ ).

Frente de la foto : NNW.

Fotografía 21 y fotografías 22-23.

20125

08-09-TC-HU-2021-2022-2023.

Pliegues menores en Río Eo Inferior ( $O_1$ as), en la carretera de Doirás a Degrada.

Fotografía 24 y fotografía 25.

08-09-TC-HU-2024-2025.

Pliegue menor sinclinal en Río Eo Inferior ( $O_1$ as).

Fotografía 26.

08-09-TC-HU-2026.

Flanco inverso en las capas cuarcíticas del Río Eo Superior ( $O_1$ ).

Frente de la foto : N

Fotografía 27.

08-09-TC-HU-2027

Capas cuarcíticas del Río Eo Superior ( $O_1$ ).

Frente de la foto : SSE

20125

Fotografía 28 y fotografía 29.

08-09-TC-HU-2028-2029.

Al N de la Hoja 125, por la pista al N de Chau de Lagores, anticlinal de Eo Superior ( $O_1$ ) dentro de un núcleo sinclinal de pizarras de Luarca ( $O_2$ ).

Fotografía 30, fotografía 31 y fotografía 32.

08-09-TC-HU-2030-2031-2032.

Panorámica de la zona W de Peñarrubia.

De E a W, cuarcita de la Vega y serie de cuarcitas y pizarras ( $O_{2-3}$ ), pizarras de Luarca ( $O_2$ ) y Serie de los Cabos ( $CA_2-O_1$  pq).

Frente de las fotos : N

fotografías 33-34.

08-09-TC-HU-2033-2034.

Alto de Peñarrubia. Compleja estructura sinclinal con ampelitas silúricas en el núcleo (S), Cuarcita de la Vega y serie de cuarcitas y pizarras ( $O_{2-3}$ ), Pizarras de Luarca ( $O_2$ ) y Serie de los Cabos ( $A_2-O_1$  pq).

Frente de las fotos : NNE



Ft. - 2014 -

Ft. - 2015 -

Ft. - 2016 -

Ft. - 2017 -

20125

Fotografías 35-36.

08-09-TC-HU-2035-2036.

Panorámica desde el Sur de Peñarrubia hacia Villar de Acero.

Serie de pizarras y cuarcitas ( $O_{2-3}$ ), Pizarras de Luarca ( $O_2$ ) y Serie de los Cabos ( $CA_2-O_1$  pq) hacia el E.

Frente de la foto : E

Fotografía 37.

08-09-TC-HU-2037.

Zona Sur de Peñarrubia. Crestones de pizarras de Luarca ( $O_2$ ) y Serie de los Cabos ( $CA_2-O_1$  pq).

Frente de la foto : NE

Fotografía 38.

08-09-TC-HU-2038.

Villar de Acero. Serie de los Cabos ( $CA_2-O_1$  pq).

Frente de la foto : ESE

20125

Fotografía 39.

08-09-TC-HU-2039.

Pilares para el viaducto sobre Ruitelan de la carretera en construcción.

En primer plano de la foto, capas de Villamea ( $CA_2-O_1p$ ), al fondo sinclinal en Capas del Eo Inferior ( $O_1as$ ).

Frente de la foto : W.

Fotografía 40.

08-09-TC-HU-2040.

Foto panorámica que abarca desde las capas del Eo Inferior ( $O_1as$ ), a - las pizarras de Cándana ( $CA_{1p1}$ ), en la esquina superior izquierda.

Frente de la foto : W.

Fotografía 41.

08-09-TC-HU-2041.

Pueblo de Samprón. En primer término Capas de Villamea ( $CA_2-O_1p$ ), detrás del pueblo Caliza de Vegadeo ( $CA_{1-2}o$ ) y serie de tránsito - ( $CA_{1p2}$ ).

Frente de la foto : NE.

**20125**

Fotografía 42 y fotografía 43.

08-09-TC-HU-2042-2043.

En la foto 43 -norte- aparecen las capas de Villamea ( $CA_2O_1p$ ), vulcanitas (v), y capas del Eo Inferior ( $O_1as$ ). En la foto 42 -Sur del Valle-, la serie sigue descendiendo hasta las pizarras de Cándana - ( $CA_1p_1$ ).

Frente de la foto : W.

fotografías 44-45 y fotografías 46-47-48.

08-09-TC-HU-2044-2045-2046-2047-2048.

En primer término, serie de tránsito ( $CA_1p_2$ ), Caliza de Vegadeo - ( $CA_{1-2}c$ ) por delante del pueblo, Capas de Villamea ( $CA_2-O_1p$ ) con - vulcanitas (v) en la prolongación sur de Samprón, y al fondo Capas - del Eo Inferior ( $O_1as$ ). El crestón de la derecha de la foto 48 corresponde a cuarcita Cándana Superior ( $CA_1q_2$ ).

Frentes de las fotos : WNW.

Fotografía 49.

08-09-TC-HU-2049.

Capas de Villamea en primer término ( $CA_2O_1p$ ), en segundo término Capas del Eo Inferior ( $O_1as$ ).

Frente de la foto : W.

**20125**

Fotografías 50-51-52 y fotografía 53.

08-09-TC-HU-2050-2051-2052-2053

Zona de cierre de los sinclinales de Real y Rececende.

Capas del Río Eo Inferior ( $O_1$  as).

Frente de la foto : SE

Fotografía 54 y fotografía 55.

08-09-TC-HU-2054-2055.

Lavas (v) que se presentan entre la serie de Pizarras de Villamea.

Área Sur de Semprón.

Frente de la foto : N.

Fotografía 56.

08-09-TC-HU-2056.

Pilares del viaducto en construcción (Plan de accesos a Galicia).

Capas del Río Eo Inferior ( $O_1$  as).

Frente de la foto : NW

20125

Fotografía 57.

08-09-TC-HU-2057

En primer plano, capas de Villamea ( $CA_2-O_1p$ ) y del Eo Inferior - ( $O_1as$ ). Al otro lado del valle, series inferiores hasta la cuarcita - Cándana Superior ( $CA_1q_2$ ).

Frente de la foto : WSW

Fotografía 58.

08-09-TC-HU-2058.

Capas de Villamea ( $CA_2-O_1p$ ) al otro lado del valle pasado el pueblo, serie de Tránsito ( $CA_1p_2$ ) y al fondo del Cándana Superior ( $CA_1q_2$ ).

Frente de la foto : ENE

Fotografía 59, fotografía 60, fotografías 61-62-63-64-65 y 67, fotografía 66 y fotografía 68.

08-09-TC-HU-2059 a 2068 inclusives.

Pizarras de Villamea ( $CA_2-O_1p$ ).

En la foto 64, se aprecia claramente un anticlinal.

Frentes de las fotos : De NW (59) al NE (67).

20125

Fotografía 69 y fotografía 70.

08-09-TC-HU-20-69-2070.

Pliegue menor que indica anticlinal al W, serie de los Cabos ( $CA_2-O_1$  pq), este pliegue se encuentra fuera de la Hoja 125 al N. de la misma.

Frente de la foto : N

Fotografía 71.

08-09-TC-HU-2071.

Serie de los Cabos ( $CA_2-O_1$  pq).

Frente de la foto : SSW

Fotografía 72.

08-09-TC-HU-2072

Zona de cabalgamientos en la serie de los Cabos ( $CA_2-O_1$  pq) que suelen presentar en el lado W caliza de Vegadeo ( $CA_{1-2}^c$ ). El cabalgamiento pasa por el E de la caliza.

Frente de la foto : W

20125

Fotografía 73.

08-09-TC-HU-2073.

Serie de los Cabos ( $CA_2-O_1$  pq). En primer término. Al fondo y separadas por la zona de cabalgamientos, capas de Villamea ( $CA_2-O_1$  p).

Frente de la foto : SSW.

Fotografía 74.

08-09-TC-HU-2074.

Serie de los Cabos ( $CA_2-O_1$  pq), zona de cabalgamientos y pizarras de Villamea ( $CA_2-O_1$  p).

Frente de la foto : SW.

Fotografía 75 y fotografía 76.

08-09-TC-HU-2075-2076

Cuarcita armoricana Eo Superior ( $O_1$ ).

Frente de la foto : NNW (75) y SSE (76).

Fotografías 77-78.

08-09-TC-HU-2077-2078.

Río Eo Superior ( $O_1$ ) e Inferior ( $O_1$  as), en la pista que va de Piedrafita a Los Nogales, al E de la carretera.

Frente de la foto : NE

Fotografías 81-82-83 y fotografías 84-85-86.

08-09-TC-HU-2081 a 2086 (ambos inclusive).

Zona de cabalgamientos en la Serie de los Cabos ( $CA_2$ - $O_1$  pq). Existe caliza de Vegadeo ( $CA_{1-2}$  c), en el lado W de los cabalgamientos.

Al fondo pizarras negras de Luarca ( $O_2$ ) que constituyen el Alto de Peñarrubia.

Frente de las fotos : E

Fotografía 90.

08-09-TC-HU-2090.

Castillo de Balboa. Serie de los Cabos ( $CA_2$ - $O_1$  pq).

Frente de la Foto : E



Ft. - 2001 -



Ft. - 2002 -

Ft. - 2003 -



Ft. - 2010 -



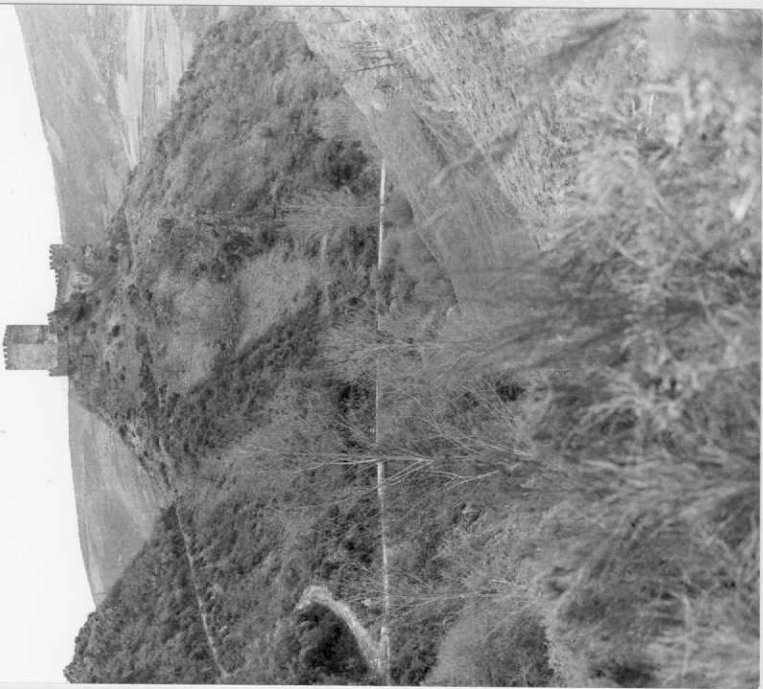
Ft. - 2011 -



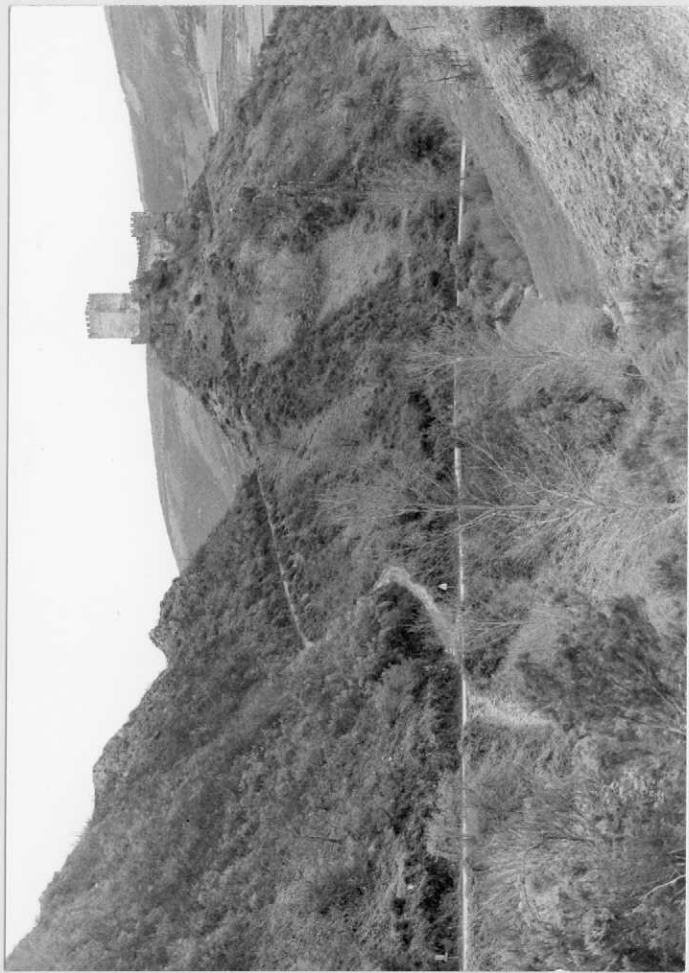
Ft. - 2012 -



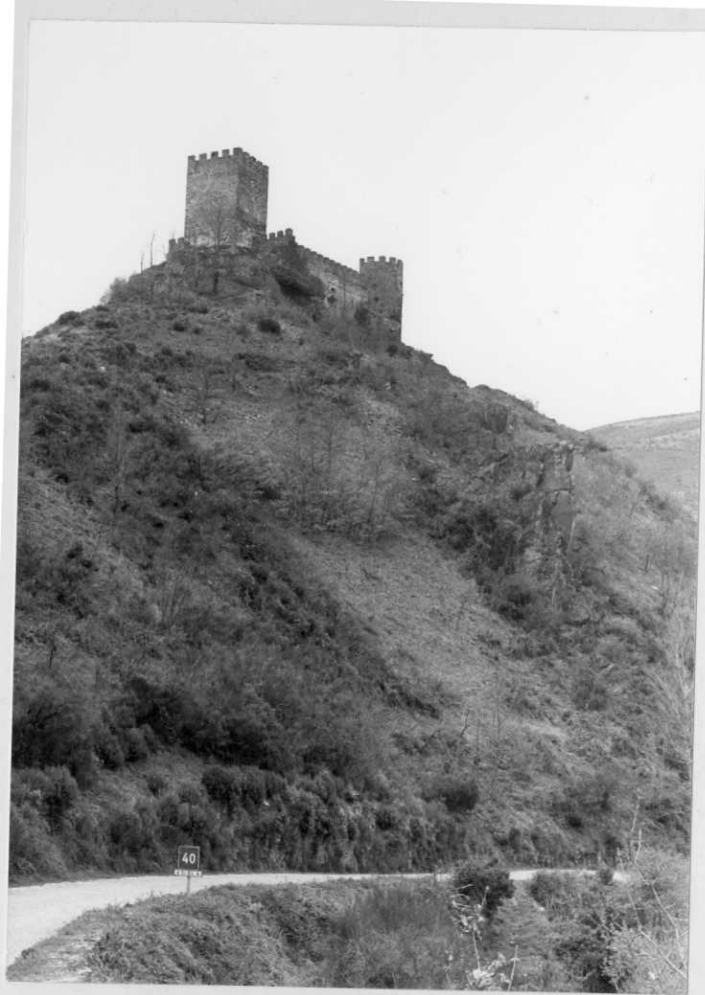
Ft. - 2013 -



Ft. - 2018 -



Ft. - 2019 -



Ft. - 2020 -



Ft. - 2021 -



Ft. - 2022 -

Ft. - 2023 -



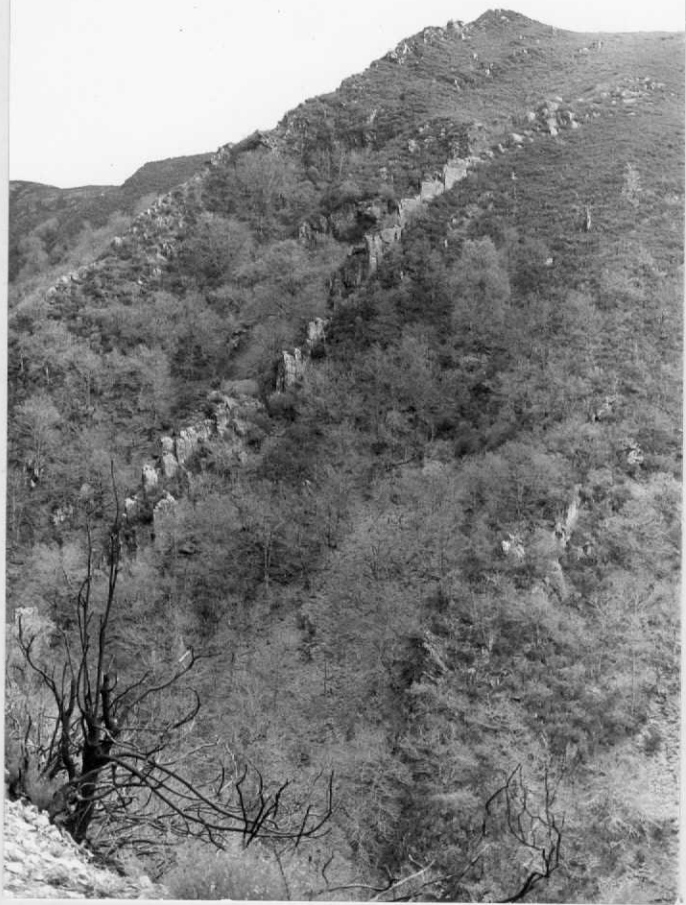
Ft. - 2024 -



Ft. - 2025 -



Ft. - 2026 -



Ft. - 2027 -



Ft. - 2028 -



Ft. - 2029 -



Ft. - 2030 -



Ft. - 2031 -



Ft. - 2032 -



Ft. - 2033 -

Ft. - 2034 -

22405



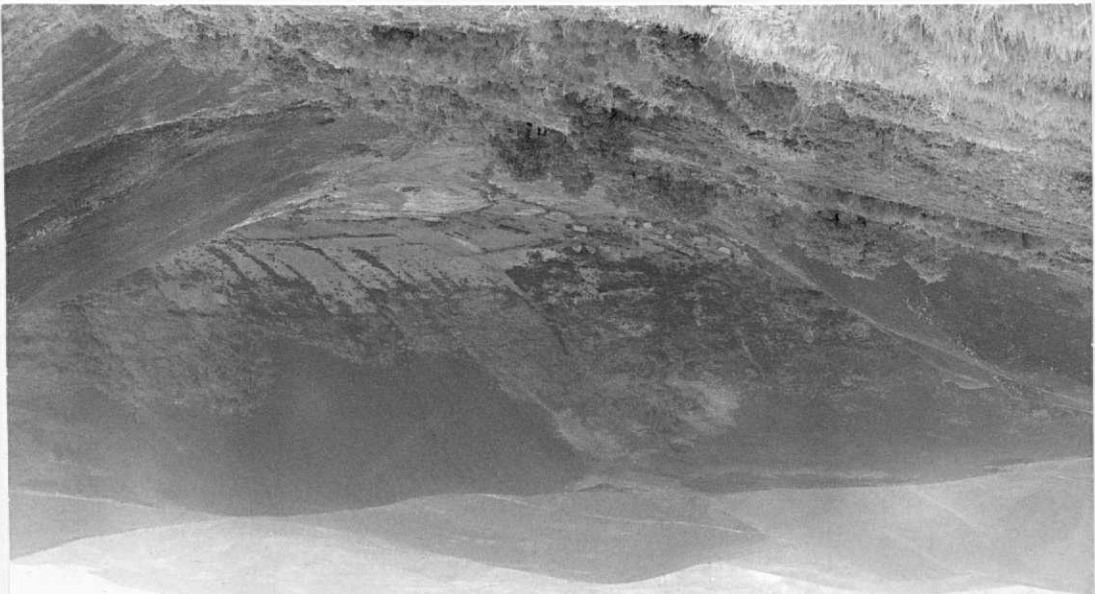
Ft. - 2035 -

Ft. - 2036 -



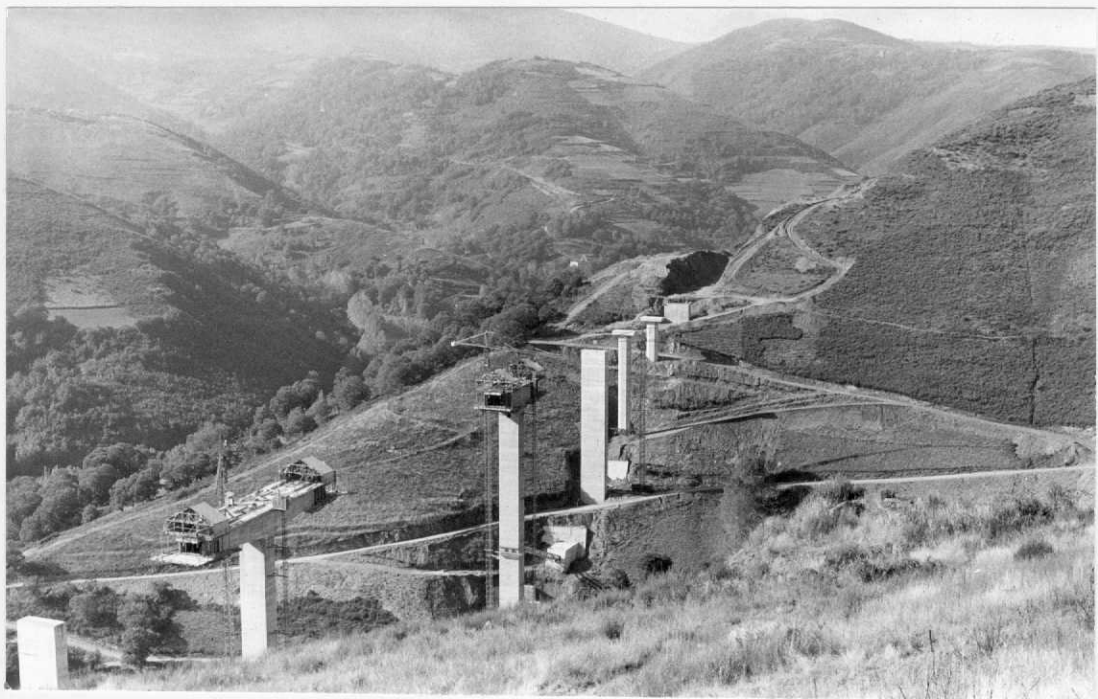
Ft. - 2037 -

Ft. - 2038 -





Ft. - 2039 -



Ft. - 2040 -



Ft. - 2041 -



Ft. - 2063

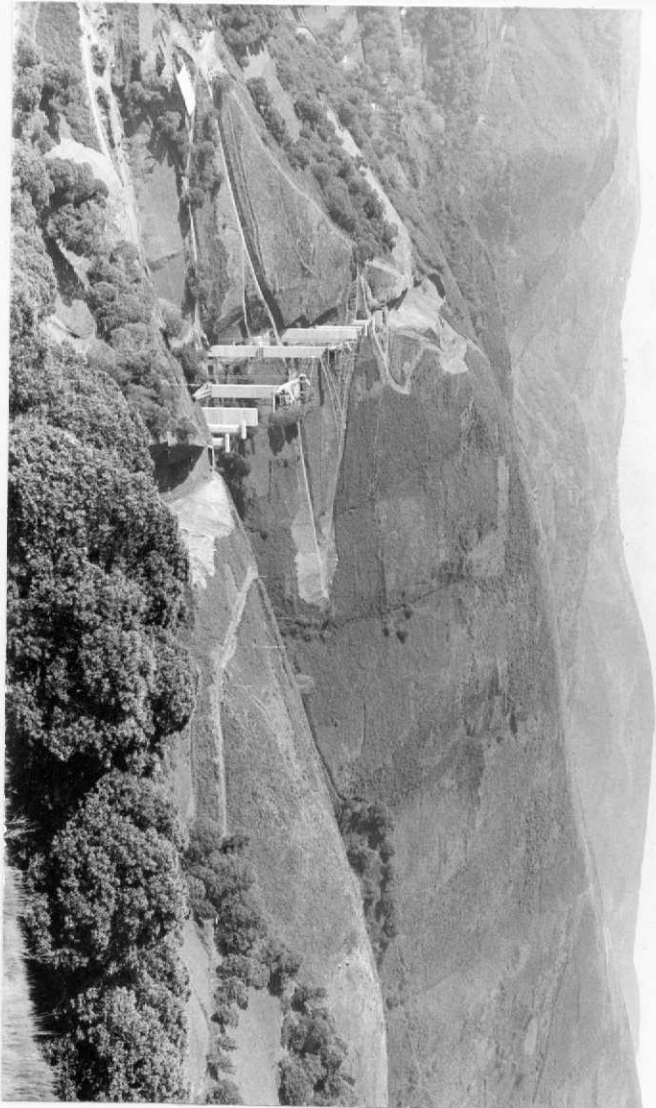
Ft. - 2064  
Ft. - 2065  
Ft. - 2067

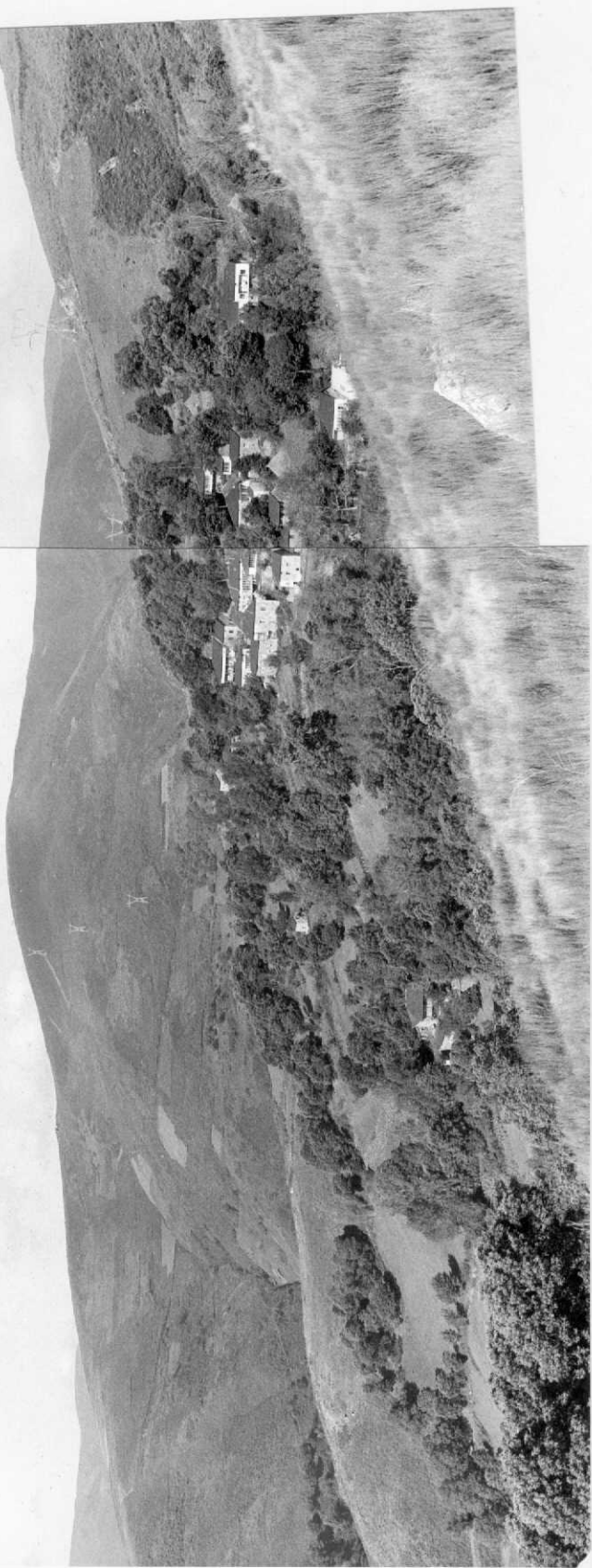
20125



Ft. - 2042 -

Ft. - 2043 -





Ft. - 2044 -

Ft. - 2045



Ft. - 2046

Ft. - 2047

Ft. - 2048

20125



Ft. - 2049



Ft. - 2050

Ft. - 2051

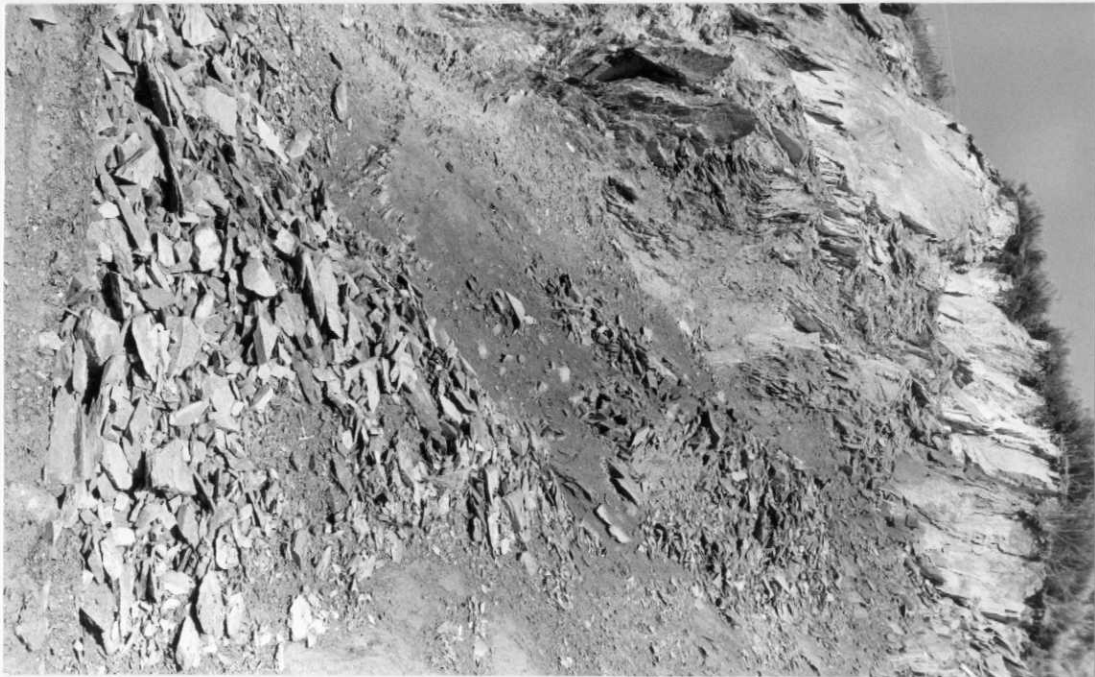
Ft. - 2052

20125



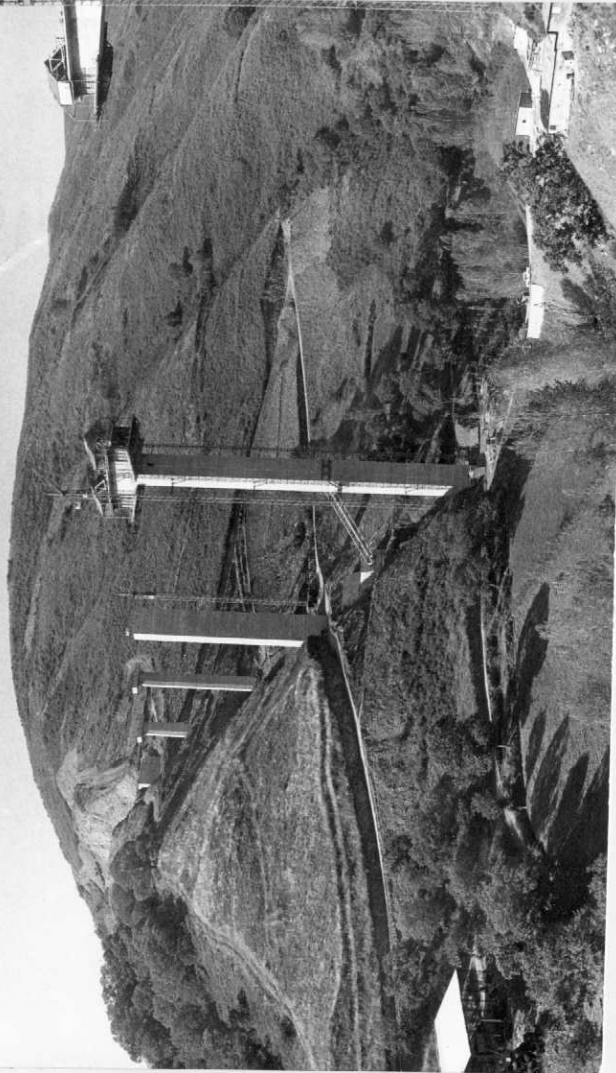
Ft. - 2053

Ft. - 2054





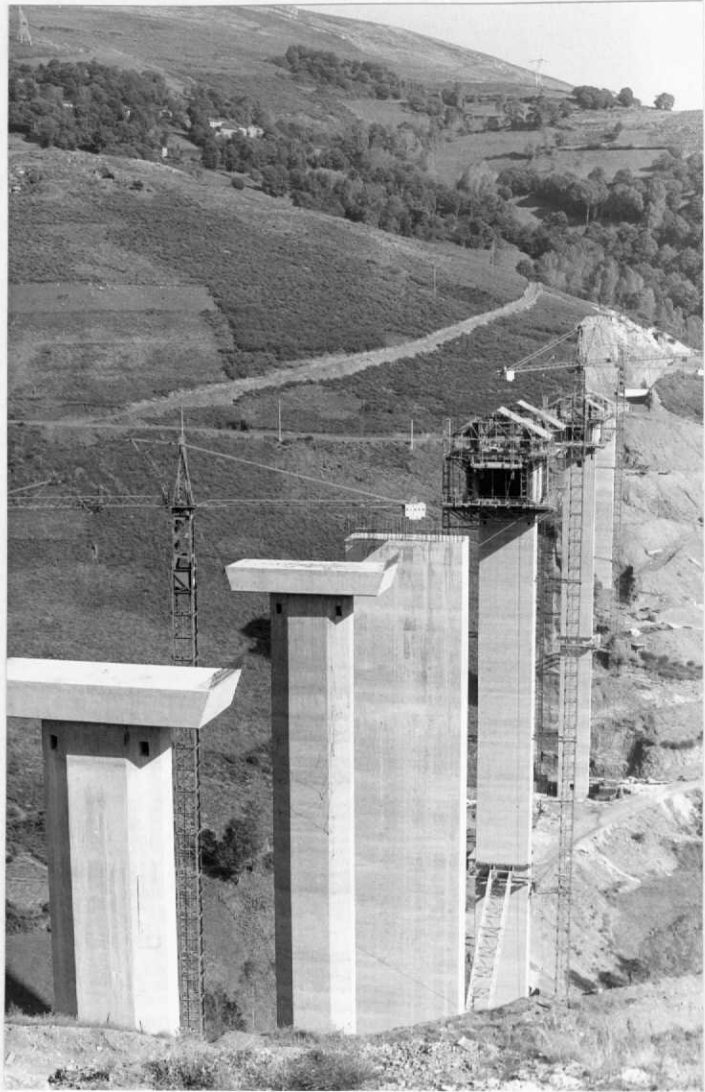
Ft. - 2055



Ft. - 2056



Ft. - 2057



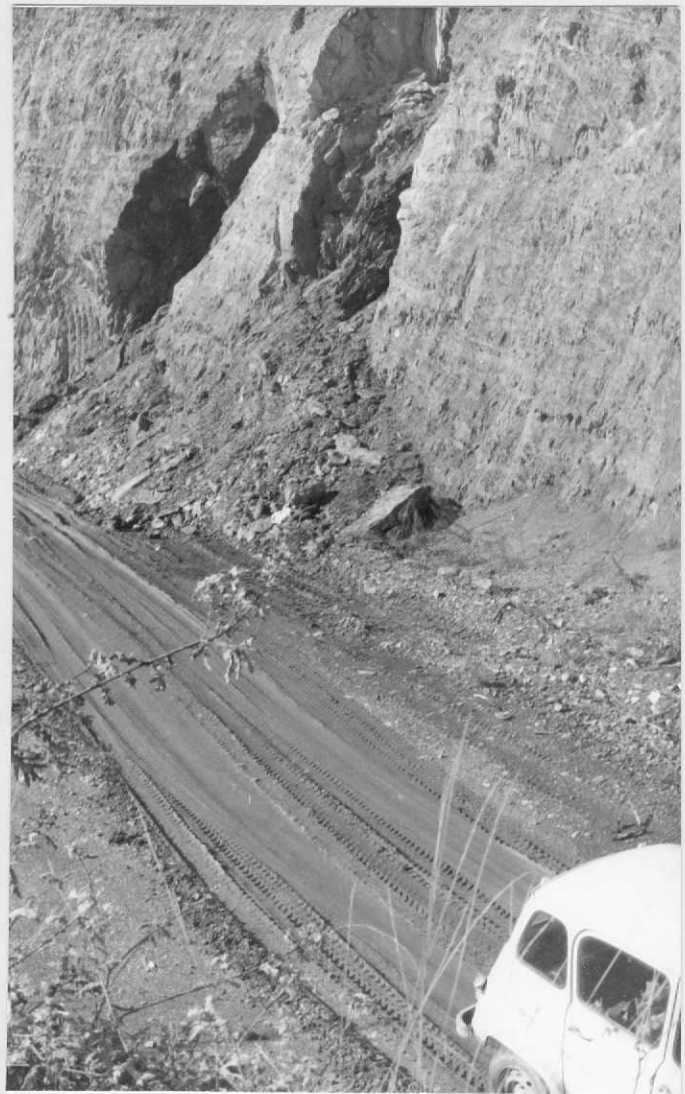
Ft. - 2058



Ft. - 2059



Ft. - 2060



Ft. - 2066

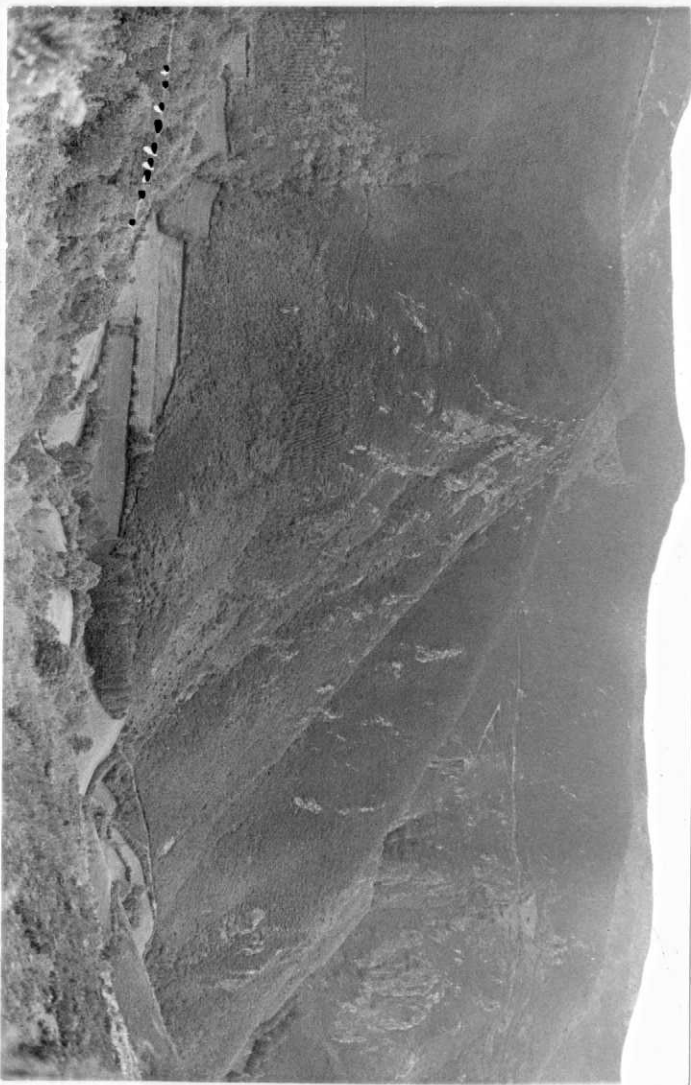


Ft. - 2068



Ft. - 2069

Ft. - 2070





Ft. - 2071



Ft. - 2072



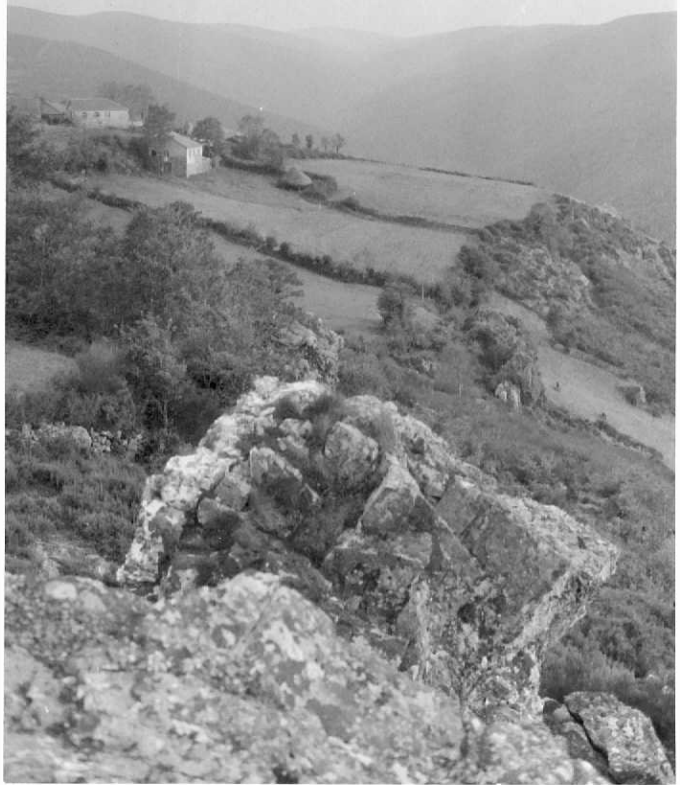
Ft. - 2073



Ft. - 2074



Ft. - 2075



Ft. - 2076



Ft. - 2077

Ft. - 2078

2240m



Ft. - 2081

Ft. - 2082

Ft. - 2083



Ft. - 2084

Ft. - 2085

Ft. - 2086



Ft. - 2090